

# 堤防に斜めに波が入射する場合のうちあげ高について

細井正延\*・首藤伸夫\*\*

## 1. 緒言

従来、堤防高さを決定するのに用いたうちあげ高に関する実験は、そのほとんどが2次元水槽におけるものであった。したがって現実の海岸のように、堤防のり線に対してある入射角をもって波がおしよせる場合に、うちあげ高がどう変化するであろうかということは、考慮できないのが普通であった。

われわれは、以下に紹介するような平面水槽において実験を行ない、その結果を図にまとめるとともに、オランダ、またはソ連で行なわれたこの種の結果との比較をした。

## 2. 実験装置および実験方法

実験水槽：土木研究所赤羽分室にある幅13.5m、長さ21.5mのものを使用した。実験水深は45cmであった。造波装置はフランジャー型で、造波板は幅13mのものである。周期はベルト式変速機で連続的に変えることができ、波高はブリーラーでのアーム位置を階段的に変えることによって変化させうる。

模型堤防：高さ80cm、のり勾配2割、入射角は0°、30°、45°、60°の4種類である。

実験使用波：波高は2.0~12cm、周期1.2~1.6secとした。これから  $d/H_0 = 3.8 \sim 22.5$ ,  $d/L_0 = 0.11 \sim 0.22$  の程度となる。

### (1) 入射波の測定

造波板のすぐ近くでは波形がきれいではなく、しかもある程度はなれなければ、その間での波高減衰もいちじるしい。われわれの実験では造波板より約8m程度、波の数にして3波以上造波板からはなれることが必要であった。

また、波峯線の方向についても波高は必ずしも一定とは考えられず、中心線をはさんで幅4m程度のところだけが一定であり、そこから側壁に向かって波高が落ちていくことがわかった。

周期についても測定を行なった結果、 $T=1.2 \sim 1.6\text{ sec}$  の間では、周期から微少振幅波理論を用いて求めた波長と、実測波長とが一致することがわかった。

このようなことを考え入れて、入射波測定位を造波板より9mの位置にきめ、中心をはさんで幅4mの間に、抵抗線型波高計を3本設置した。これを市販のひ

ずみ増幅器に入れ、電磁オシログラフで記録した。キャリブレーションを行なった結果、この波高計は0点をはさんで上下20cm程度は線型性が保たれることがわかっている。

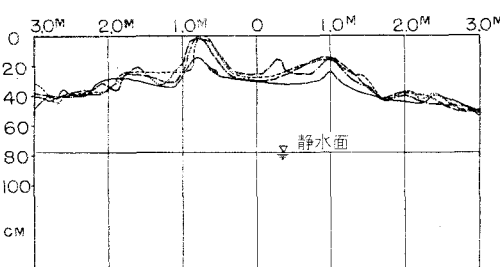
### (2) うちあげ高の測定

われわれの水槽は長さが限られているので、長時間運転を行なうことは不可能である。模型堤防から反射された波が造波板で反射され、再び堤防に達するまでにうちあげ高の測定をやめねばならない。このため、1回の試行においては平均して15波程度しか利用できない。そのうえ入射波について述べたように、中心の幅4m程度しか入射波波高が一定でないので、この幅の中でのうちあげ高を測定しなければならない。

このように、時間的、場所的に一定の特性を有する波がおしよせるようにしても、うちあげ高は一般に時間的、場所的に変動する。

時間的変動を平均するためには長時間運転を行なえばよいのであるけれども、大体15波程度の資料を得れば、その間にあらわれてくる値以上あるいは以下の値でてくる確率はきわめて小さく、またそのような極端な値が平均値におよぼす影響はほとんどないように思われた。測定にあたって問題となつたのは時間的変動ではなく、場所的な変動であった。2次元水槽の実験においてさえ、場所によってうちあげ高が異なるのであるが、ここで行なった実験のように平面的な拡張をもつ場合には、場所によってうちあげ高がいちじるしく異なる。この例を図-1に示そう。図-1は、1回の試行中最大はいあがり高を示した位置を堤防のり面にそって測定したものである。図には8回の試行中の4回の例を示してある。この例での入射波波高は約9cmであるにもかかわらず、のり面にそっての最大はいあがり高と最小値の差は約40cm、これを高さになおすと約18cm、したがって、この場所的変動だけでも  $R/H_0 \approx 2$  の程度となる。図-1

図-1 うちあげ高の場所による違い  
( $H_0 = 9.4\text{ cm}$ ,  $H_0/L_0 = 0.025$ )



\* 正員 工博 建設省土木研究所 海岸研究室長

\*\* 正員 建設省土木研究所 海岸研究室

は、各試行中の最大はいあがり高のみをしるしているのであるが、その最大値、最小値を生ずる位置はだいたい一定しているようであり、また一試行中の各波ごとの傾向もだいたい似かよっているようであった。われわれの実験では、だいたい最大値を与えるところ、平均値を与えるところ、最小値を与えるところ、という代表点を3カ所選びだし、ここでのうちあげ高を読み、それ全体の平均を行なったものを平均値、3カ所の記録のどれかにふくまれている最大のものを最大値、これと逆のものを最小値とした。

### 3. 実験結果

まず、平均値についての結果を図-2(a), (b), (c), (d)に示す。ここで入射角 $\alpha$ は波峯線と堤防のり線のなす角である。Saville<sup>1)</sup>の実験によると、 $d/H_0 > 3$ なら $R/H_0$ は $H_0/L_0$ のみによるのであるし、また佐藤・岸<sup>2)</sup>によると、 $h/L_0 > 0.12$ では $R/H_0$ はほとんど $h/L_0$ にはよらない。ここでの実験では $d/L_0 > 0.11$ ,  $d/H_0 > 3.8$ の程度であるから、 $R/H_0$ はほとんど $H_0/L_0$ によって変わるものであろうと期待される。図-2をみると $d/L_0$ の差で若干異なる結果がでているようであるけれども、資料数も少ないため、 $d/L_0$ による差を明確にすることはできないので、ここでは区別せずに1本の平均的曲線を与えることとした。

図-2(a) のり勾配2割に対するうちあげ高( $\alpha=0^\circ$ )

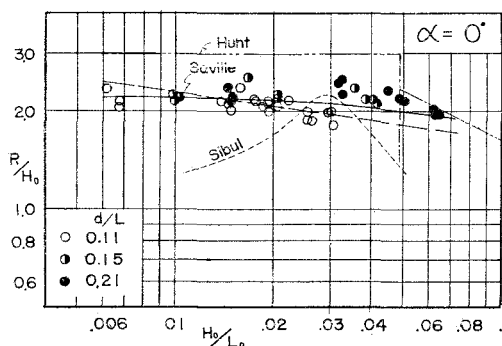


図-2(b) のり勾配2割に対するうちあげ高( $\alpha=30^\circ$ )

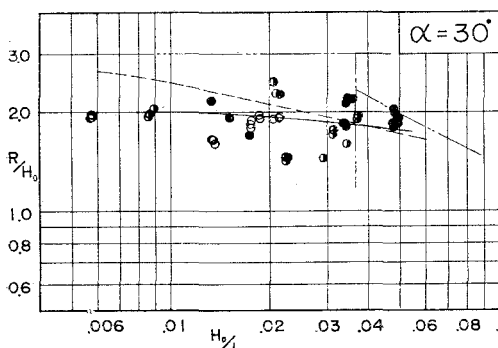


図-2(c) のり勾配2割に対するうちあげ高( $\alpha=45^\circ$ )

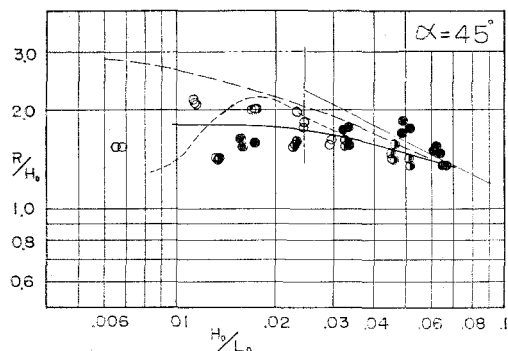
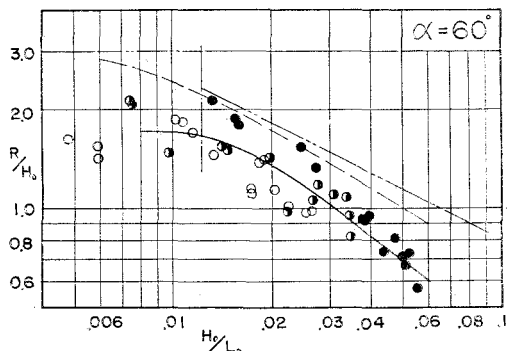


図-2(d) のり勾配2割に対するうちあげ高( $\alpha=60^\circ$ )



いま、堤防のり面が水平面となす角を $i$ 、波峯線が堤防のり線となす角を $\alpha$ とし、波入射の方向にそってはかった堤防の傾射角を $i'$ としよう。これらの角の間には

$$\tan i' = \tan i \cdot \cos \alpha \quad \dots \dots \dots \quad (1)$$

がなりたつ。こうしてみると、ごくせまい幅にかぎって考えると $\tan i'$ の勾配を有する堤防が、波の入射方向に直角に相対していると考えてみることができる。そして、2次元水槽におけるSaville, Sibul<sup>3)</sup>などの実験値、またHunt<sup>4)</sup>の曲線を記入しておく。Savilleの実験値とわれわれの実験値とはだいたい似かよっており、一般にわれわれの実験値がSavilleのものにくらべて下方にある。ただし、 $H_0/L_0$ の大きいところで $d/L_0$ が大きくなると、われわれの実験値がSavilleのものより大きな値を与えることがある。こういう点は $d/L_0$ の影響がでてきているためであろう。Sibulの実験値は、ほかにくらべて遠いすぎる。Huntの曲線は、だいたい大きい側を包絡しているようである。

ここで見られる一般的特徴として、波進行方向にはかった堤防勾配が等しい場合には、波峯線と堤防のり線とが一致せずにある角度を有している方が、うちあげ高は小さくなるといえる。波峯線と堤防のり線とが一致しない場合には、部分重複波形式に役立つ反射波の成分が、一致しているときよりも少なくなるため、このような現象が現われるであろう。

#### 4. 入射方向性の影響

波峯線と堤防のり線のなす角  $\alpha$  が大きくなるにつれ、堤防勾配が同じでもうちあげ高は小さくなっていく。 $\alpha = 0^\circ$  のうちあげ高に対して、各角度に対するうちあげ高の比をとって考えてみるとこととし、これを入射方向係数  $K_\alpha$  と呼ぼう。オランダの考えにしたがうと

$$R_n/H_{1/3} = A \cdot B \cdot \sin 2i \quad \dots \dots \dots (2)$$

$A$  : 波の条件によって変わる係数

$B$  : 堤体条件によって変わる係数

$i$  : 堤防傾斜角で、 $15\sim22^\circ$  の範囲

堤体条件のうち、波峯線と堤防のり線のなす角による係数  $B_4$  は

$$B_4 = \frac{1 + \cos \alpha}{2} \quad \dots \dots \dots (3)$$

である<sup>5)</sup>。また

$$B_4 = \cos \alpha - \frac{B}{L} \quad \dots \dots \dots (4)$$

$B$  : バーム幅、 $L$  : 波長

という実験結果もある。 $B=0$  とした

$$B_4 = \cos \alpha \quad \dots \dots \dots (5)$$

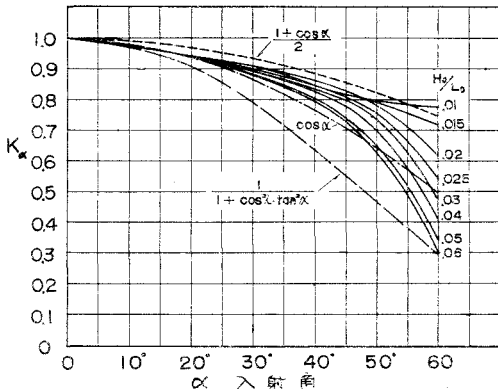
と、われわれの結果とをくらべる。

ソ連のシドローバは、詳細は不明であるが、

$$K_\alpha = \frac{1}{1 + \cos^2 i \cdot \tan^2 \alpha} \quad \dots \dots \dots (6)$$

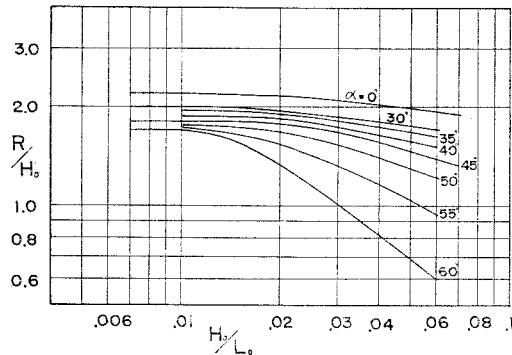
を提案している<sup>6)</sup>。

図-3 入射方向係数



これら 3 つの曲線を図-3 に書きいれておく。われわれの結果は、 $\alpha=45^\circ$  くらいまでは  $(1-\cos \alpha)/2$ 、 $\cos \alpha$  の間の値を与える。 $H_0/L_0$  によって異なる曲線となっている。 $\alpha=45\sim60^\circ$  では、 $K_\alpha$  はかなり急激に変化する。シドローバの値は、われわれの実験値やオランダの結果とも違すぎるようである。図-3 にみられるとおり、 $K_\alpha$  は単に入射角や堤防の傾斜角だけによって変化するものではなく、 $H_0/L_0$  なども関連するようであるから、上記 3 式のような簡単な式ですべてを表わすことはできないであろう。

図-4 さまざまな入射角に対する 2 割堤へのうちあげ高



さまざまな入射角に対するうちあげ高を 図-4 に示す。これは図-3 を利用して書いたものであり、入射角  $5^\circ$  おきにそのうちあげ高の平均値を示す曲線だと考えてよい。しかし、うちあげ高の最低値には一般にある限界がある。つまり  $\alpha=90^\circ$  となって堤防からの反射波がなく、単に進行波となって波が進んでいくときの波峯の位置よりも  $R$  の値が小さくなることは、のり勾配 2 割のようないきにはないものと考える。したがって次式で表わされる  $\eta$  の最高値より  $R$  が小さくなることはない。無限級数による表示では<sup>7)</sup>

$$\eta_{\max} = \sum_{n=1}^{\infty} \frac{B_n}{k} \cdot \beta^n k^n \quad \dots \dots \dots (7)$$

$$k = \frac{2\pi}{L},$$

$$B_n = \frac{1}{2^{n-1} \cdot n!} \left[ \sum_{r=0}^m (-1)^r \cdot {}_n C_r \cdot (n-2r)^{n-1} \cdot \sinh\{(n-2r)kd\} \right]$$

$$m = \frac{n}{2} - 1, \quad n \text{ が偶数}$$

$$= \frac{n-1}{2}, \quad n \text{ が奇数}$$

$d$  : 水深

$\beta$  と波高  $H$  の関係は

$$H = 2 \sum_{n=1}^{\infty} \frac{B_{2n-1}}{k} \cdot \beta^{2n-1} \cdot k^{2n-1}$$

また、3 次までの展開では<sup>8)</sup>

$$\eta_{\max} = \frac{1}{8} k H^2 \cdot \coth kd + \frac{H}{2} + \frac{1}{8} k H^2 \cdot \coth kd + \frac{1}{32} k H^3 \left( \frac{1}{2} + \coth^2 kd \right)$$

ただし、

$$\frac{H}{2} = \beta (\sinh kd) \left[ 1 + \frac{3}{4} k^2 \beta^2 \left\{ 1 + \frac{3}{2} \sinh^2 kd \right\} \right]$$

それゆえ、 $H/2$  がたいたい半波高であることから

$$\eta_{\max} = R_{\min} = \frac{H}{2} + \frac{1}{4} k H^2 \cdot \coth kd$$

$$\therefore \frac{R}{H} = 0.5 + \frac{1}{4} k H \cdot \coth kd \quad \dots \dots \dots (8)$$

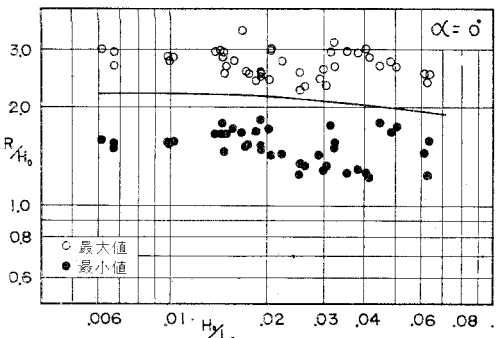
この値より  $R/H$  の値が小さくなることは考えられないから 図-4 を用いて得た値が、式 (8) で求めた値より

小さいときは式(8)の結果を用いる必要がある。

## 5. 平均値と最大値、最小値の幅

今まで、平均値についてのみ議論してきた。Savilleの値も平均値の曲線となっている。しかし、すでにみたように  $R/H_0$  は一定の入射波によっても、場所的、時間的に変動するものであった。そして最大値と最小値の差は、それだけでも  $R/H_0 \approx 2$  に相当する大きさであった。 $\alpha = 0^\circ$  のときの平均値曲線と最大値、最小値の分布を図-5に示す。このように変動の幅が大きいから、設計にあたり平均値曲線を用いるか、または最大値を包絡するような曲線を用いるかについての再考慮がなされてしかるべきであろう。

図-5 最大値、最小値と平均曲線



Hunt は反射率 0.5 を与えるような  $H_0/L_0$  の値 (Iribarren-Nogales の式より計算される) よりも小さい  $H_0/L_0$  に対しては、最大値を包絡する  $R/H_0 \approx 3.0$  を与えることを提案している。

このように、実験値の大きな側を包絡する曲線を設計に用いるという考え方を採用する必要があるのでなかろうか。

## 6. 結論

① 平面的なひろがりをもつ水槽での実験では、うち

あげ高は時間的に変動することがみられ、その最大最小の差だけでも  $R/H_0 \approx 2.0$  の程度である。

②  $d/L_0 > 0.12$  では、 $R/H_0$  の値はほとんど  $d/L_0$  によらないといわれるが、若干  $d/L_0$  による差があるようと思われる。ただし、われわれの場合、資料数が少ないので、この差を明確にすることはできなかった。

③ 波進行方向にそっての堤防勾配が同じであれば、波峯線と堤防のり線のなす角が 0 のときにくらべ、ある角度を有するものの方が、 $R/H_0$  は小さい。重複波生成にあずかる反射波成分が小さいためであろう。

④ 入射方向係数  $K_\alpha$  の値は、波入射角のほか、一般に  $H_0/L_0$  などの値が関係しているようみえる。 $\alpha = 0^\circ \sim 45^\circ$  の間では、 $\cos \alpha < K_\alpha < (1 + \cos \alpha)/2$  の値をとる。

⑤ さまざまな入射角に対するうちあげ高を図-4に示す。最小のうちあげ高は、 $R/H = 0.5 + \frac{1}{4} kH \cdot \coth kd$  である。

⑥ 測定精度の良好な実験においても、実験値は平均値のまわりに大きな幅をもって分布する。したがって、設計の規準として平均値を用いることには、再考慮の余地があるのであるのではなかろうか。

## 参考文献

- 1) Saville, T.J. : Wave run-up on shore structure, J.W.W. H., Proc. of A.S.C.E., Apr. (1956).
- 2) 佐藤清一・岸 力：海岸構造の形状特性ならびに陸岸への遇上、海岸工学講演集、第3回、(1956)。
- 3) Sibul, O.J. : Flow over reefs and structures by wave action, Trans. A.G.U., Vol. 36, No. 1 (1955).
- 4) Hunt, J.A.Jr. : Design of seawall and breakwaters, J.W.W.H., Proc. of A.S.C.E.
- 5) Wassing, F. : Model investigation on wave run-up carried out in the Netherlands during the past twenty years, Coastal Engineering, (1958).
- 6) 周 錦：斜面上波浪上捲高さ的研究、土木工芸学報、(1953, 3.)。
- 7) 首藤仲夫：有限振幅波について、高次級数解による進行波の碎波限界、土研報告 第111号、(昭和36年11月)。
- 8) 応用水理学、上。